

## P50 SLED9017 BRANCA BARRA 23WM 4000K 90 - 1m



Luminária linear pendente com iluminação difusa.  
Corpo em alumínio extrudado com acabamento na cor branca. Difusor em acrílico extrudado leitoso. Indicado para residência, recepção, escritório etc.

Fluxo luminoso – 1110 lm/m

Potência – 23,7 W/m

Intensidade pico – 435cd

CCT – 4079K



IRC – 93,4

Coordenada CIE 1931 – x- 0,377 y- 0,373

A x L - 50x50

Peso - 1,1kg/m

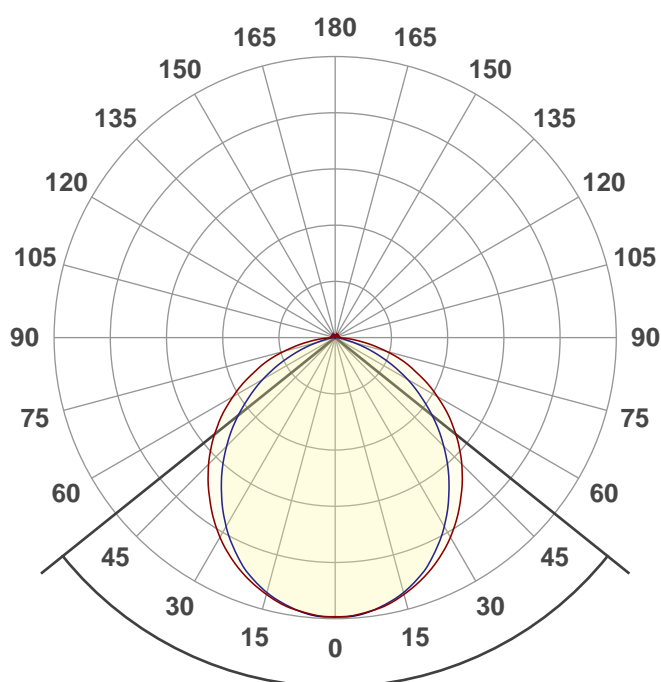
IP - 20 - Uso Interno

IK - 00 – Não aplicável

Alimentação - 12vdc

Data do ensaio

22/01/2021 09:47:47



Facho de abertura

**102,5°**

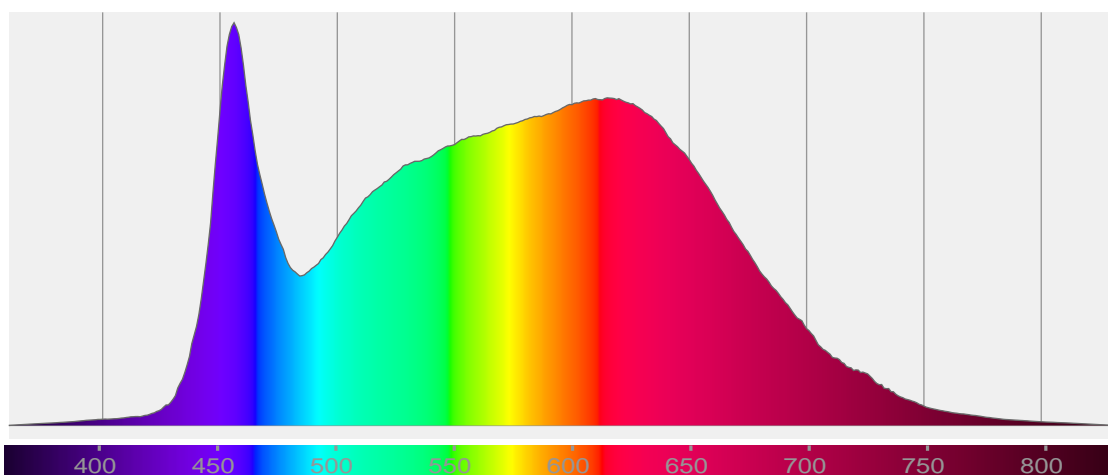
**Rf 89,0**

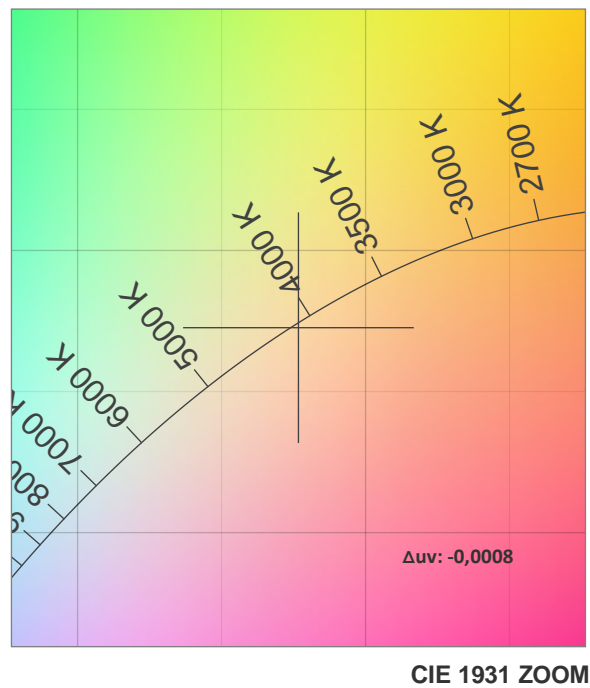
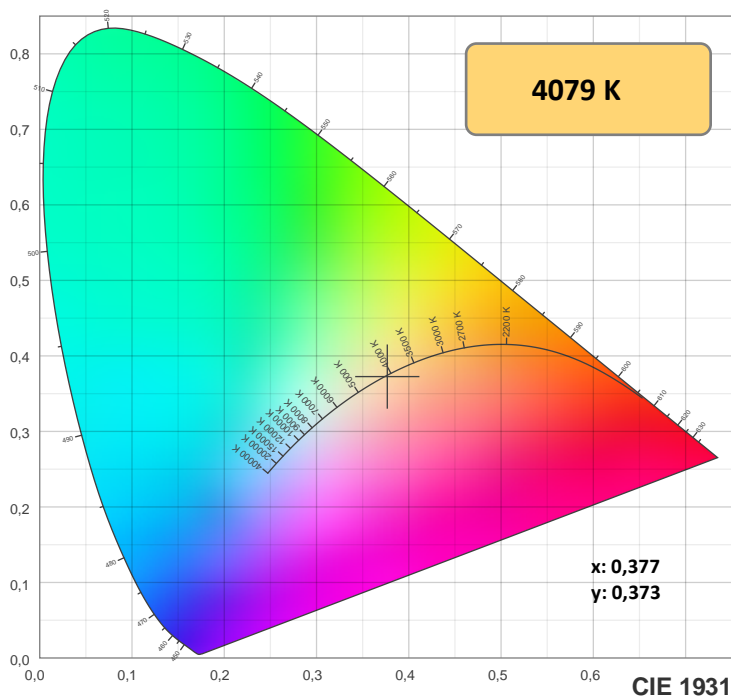
Fidelity index Rf

**Rg 96,8**

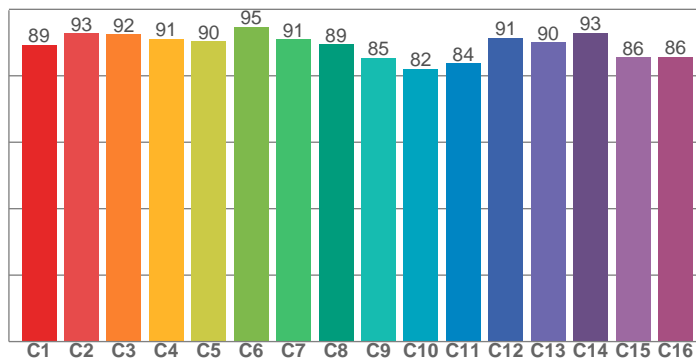
Gamut index Rg

| Hue Bin | R <sub>f</sub> | Shifts (%) |     |
|---------|----------------|------------|-----|
|         |                | Chroma     | Hue |
| 1       | 89             | -5%        | 1%  |
| 2       | 93             | -2%        | 2%  |
| 3       | 92             | -2%        | 3%  |
| 4       | 91             | -3%        | 0%  |
| 5       | 90             | -6%        | 0%  |
| 6       | 95             | -3%        | 0%  |
| 7       | 91             | -6%        | 2%  |
| 8       | 89             | -4%        | 5%  |
| 9       | 85             | -3%        | 11% |
| 10      | 82             | -1%        | 11% |
| 11      | 84             | 5%         | 10% |
| 12      | 91             | 4%         | 1%  |
| 13      | 90             | 4%         | -6% |
| 14      | 93             | 0%         | -3% |
| 15      | 86             | 0%         | -8% |
| 16      | 86             | -2%        | -7% |

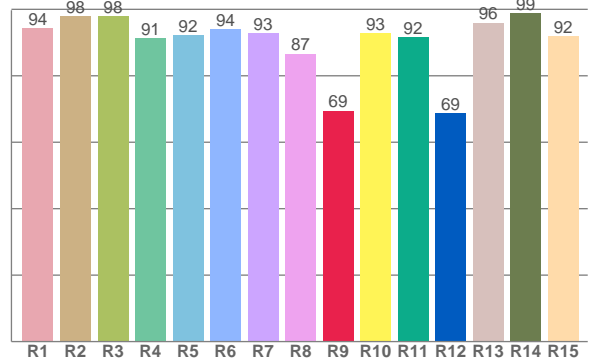




TM-30: 89,0



CRI: 93,4 (R1-R8)



CRIRA R1-R8 / CRIR R1-R15

| R1   | R2   | R3   | R4   | R5   | R6   | R7   | R8   | R9   | R10  | R11  | R12  | R13  | R14  | R15  |
|------|------|------|------|------|------|------|------|------|------|------|------|------|------|------|
| 94,3 | 97,9 | 97,8 | 91,3 | 92,3 | 94,0 | 92,9 | 86,6 | 69,5 | 92,8 | 91,7 | 68,7 | 96,0 | 98,8 | 91,9 |

TM30 valores C. 16 valores extraídos dos 99.

| C1   | C2   | C3   | C4   | C5   | C6   | C7   | C8   | C9   | C10  | C11  | C12  | C13  | C14  | C15  | C16  |
|------|------|------|------|------|------|------|------|------|------|------|------|------|------|------|------|
| 89,3 | 92,7 | 92,4 | 91,2 | 90,3 | 94,7 | 90,9 | 89,5 | 85,4 | 82,1 | 83,8 | 91,4 | 90,0 | 92,8 | 85,5 | 85,8 |

## Parametros de cor

| Temperatura de cor | Índice de reprodução de cor | Reprodução de cor vermelho R9 | Color fidelity | Color gamut | Color quality scale | Coordenada de cor cie 1931 | Coordenada de cor cie 1931 | Coordenada de cor | Coordenada de cor | Color deviation from black body |
|--------------------|-----------------------------|-------------------------------|----------------|-------------|---------------------|----------------------------|----------------------------|-------------------|-------------------|---------------------------------|
| CCT                | IRC                         | CRI R9                        | TM30 Rf        | TM30 Rg     | CQS                 | x                          | y                          | u                 | v                 | Δuv                             |
| 4079 K             | 93,4                        | 69,5                          | 89,0           | 96,8        | 90,9                | 0,377                      | 0,373                      | 0,224             | 0,333             | -0,0008                         |

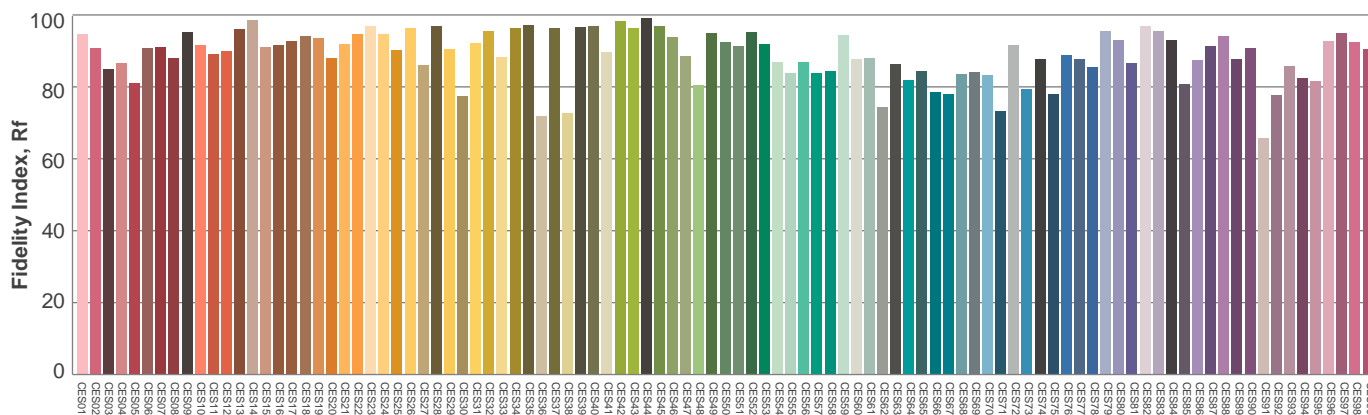
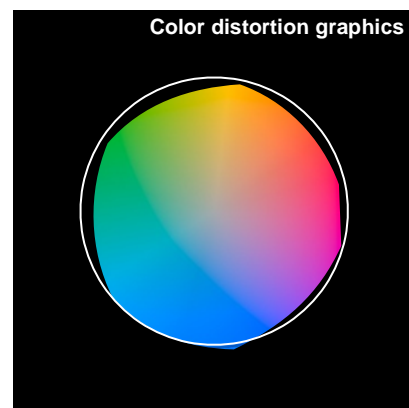
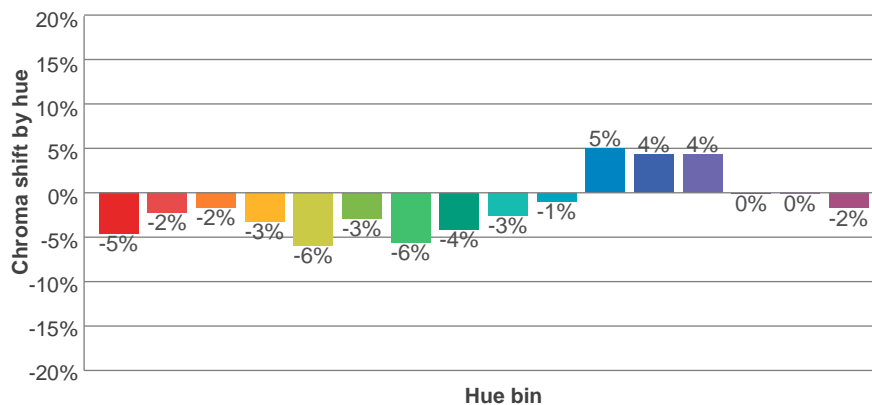
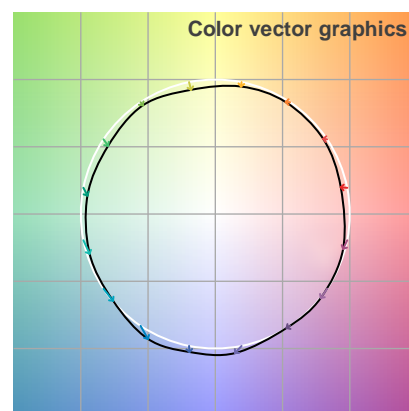
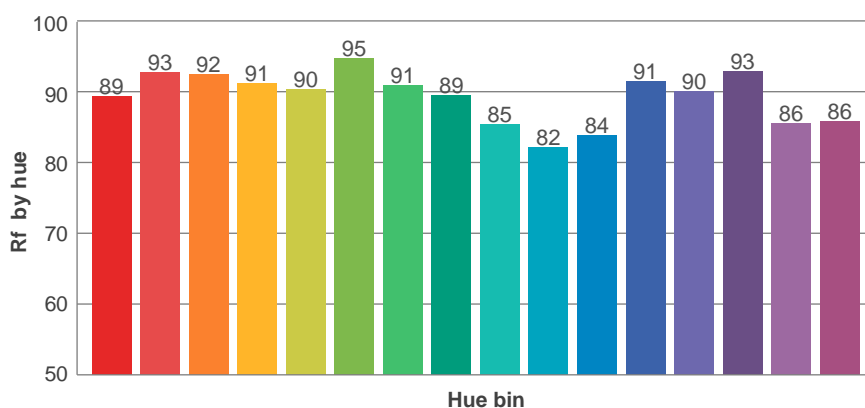
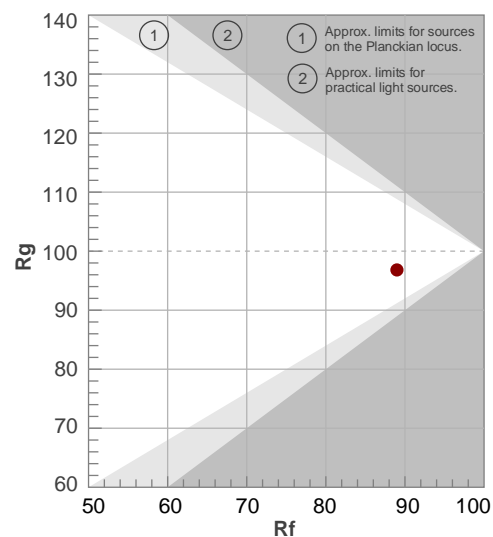
**Rf 89,0**

Fidelity index Rf

**Rg 96,8**

Gamut index Rg

| Hue Bin | R <sub>f</sub> | Shifts (%) |     |
|---------|----------------|------------|-----|
|         |                | Chroma     | Hue |
| 1       | 89             | -5%        | 1%  |
| 2       | 93             | -2%        | 2%  |
| 3       | 92             | -2%        | 3%  |
| 4       | 91             | -3%        | 0%  |
| 5       | 90             | -6%        | 0%  |
| 6       | 95             | -3%        | 0%  |
| 7       | 91             | -6%        | 2%  |
| 8       | 89             | -4%        | 5%  |
| 9       | 85             | -3%        | 11% |
| 10      | 82             | -1%        | 11% |
| 11      | 84             | 5%         | 10% |
| 12      | 91             | 4%         | 1%  |
| 13      | 90             | 4%         | -6% |
| 14      | 93             | 0%         | -3% |
| 15      | 86             | 0%         | -8% |
| 16      | 86             | -2%        | -7% |



Glare Evaluation According to UGR

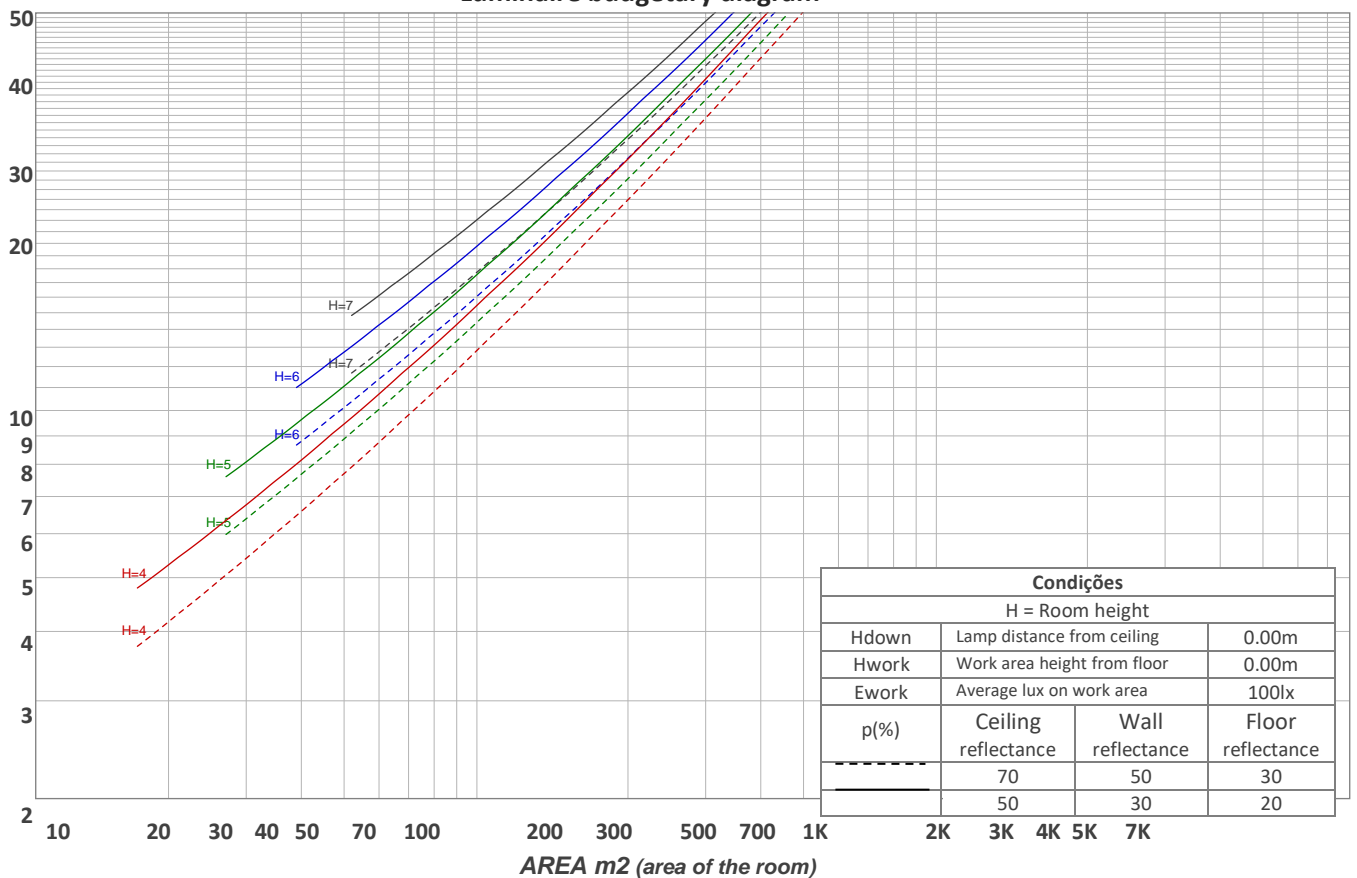
|  |     |  |      |      |      |      |   |      |      |      |      |
|--|-----|--|------|------|------|------|---|------|------|------|------|
| p Ceiling  |     | 70   | 70   | 50   | 50   | 30   | 70                                      | 70   | 50   | 50   | 30   |
| p Walls  |     | 50   | 30   | 50   | 30   | 30   | 50                                      | 30   | 50   | 30   | 30   |
| p Floor  |     | 20   | 20   | 20   | 20   | 20   | 20                                      | 20   | 20   | 20   | 20   |
| Room size<br>X    Y  |     | Viewing direction at right angles to lamp axis |      |      |      |      | Viewing direction parallel to lamp axis |      |      |      |      |
| 2H   | 2H  | 20,5   | 21,7 | 20,8 | 22,0 | 22,2 | 19,2                                    | 20,3 | 19,4 | 20,6 | 20,9 |
|  | 3H  | 22,0   | 23,2 | 22,4 | 23,5 | 23,7 | 20,0                                    | 21,2 | 20,4 | 21,5 | 21,7 |
|  | 4H  | 22,6   | 23,8 | 23,1 | 24,1 | 24,4 | 20,2                                    | 21,3 | 20,6 | 21,6 | 21,9 |
|  | 6H  | 23,2   | 24,1 | 23,5 | 24,5 | 24,9 | 20,3                                    | 21,3 | 20,6 | 21,6 | 22,0 |
|  | 8H  | 23,3   | 24,3 | 23,7 | 24,6 | 25,0 | 20,3                                    | 21,2 | 20,6 | 21,6 | 22,0 |
|  | 12H | 23,4   | 24,3 | 23,8 | 24,7 | 25,2 | 20,2                                    | 21,2 | 20,6 | 21,5 | 22,0 |
| 4H   | 2H  | 20,9   | 22,0 | 21,3 | 22,3 | 22,6 | 19,8                                    | 20,9 | 20,2 | 21,2 | 21,5 |
|  | 3H  | 22,6   | 23,6 | 23,0 | 23,9 | 24,4 | 20,9                                    | 21,8 | 21,3 | 22,2 | 22,6 |
|  | 4H  | 23,3   | 24,2 | 23,8 | 24,6 | 25,2 | 21,1                                    | 21,9 | 21,5 | 22,4 | 22,9 |
|  | 6H  | 23,9   | 24,7 | 24,4 | 25,1 | 25,5 | 21,1                                    | 22,0 | 21,7 | 22,3 | 22,7 |
|  | 8H  | 24,1   | 24,8 | 24,6 | 25,2 | 25,6 | 21,2                                    | 21,9 | 21,7 | 22,3 | 22,7 |
|  | 12H | 24,2   | 24,8 | 24,7 | 25,3 | 25,8 | 21,1                                    | 21,8 | 21,7 | 22,2 | 22,7 |
| 8H   | 4H  | 23,4   | 24,1 | 23,9 | 24,5 | 24,9 | 21,3                                    | 22,0 | 21,8 | 22,4 | 22,9 |
|  | 6H  | 24,0   | 24,6 | 24,6 | 25,1 | 25,7 | 21,5                                    | 22,0 | 22,0 | 22,5 | 23,1 |
|  | 8H  | 24,3   | 24,8 | 24,8 | 25,3 | 26,0 | 21,5                                    | 22,0 | 22,1 | 22,6 | 23,2 |
|  | 12H | 24,5   | 24,9 | 25,1 | 25,4 | 26,1 | 21,6                                    | 22,0 | 22,2 | 22,5 | 23,1 |
| 12H  | 4H  | 23,3   | 23,9 | 23,9 | 24,4 | 24,9 | 21,3                                    | 21,9 | 21,8 | 22,4 | 22,9 |
|  | 6H  | 24,0   | 24,5 | 24,6 | 25,1 | 25,7 | 21,5                                    | 22,0 | 22,1 | 22,5 | 23,2 |
|  | 8H  | 24,3   | 24,7 | 24,9 | 25,2 | 25,9 | 21,6                                    | 22,0 | 22,2 | 22,5 | 23,2 |
| Variation of the observer position for the luminaire distance S  |     |  |      |      |      |      |   |      |      |      |      |
| S = 1.0H   |     | 0,1 / -0,1                                     |      |      |      |      | 0,2 / -0,3                              |      |      |      |      |
| S = 1.5H   |     | 0,2 / -0,2                                     |      |      |      |      | 0,4 / -0,7                              |      |      |      |      |
| S = 2.0H   |     | 0,5 / -0,7                                     |      |      |      |      | 0,9 / -1,4                              |      |      |      |      |
| Standard table   |     | n/a  |      |      |      |      | n/a                                     |      |      |      |      |
| Correction<br>summand  |     | n/a  |      |      |      |      | n/a                                     |      |      |      |      |
| Corrected glare indices referring to 1110 lm total luminous flux |     |  |      |      |      |      |   |      |      |      |      |

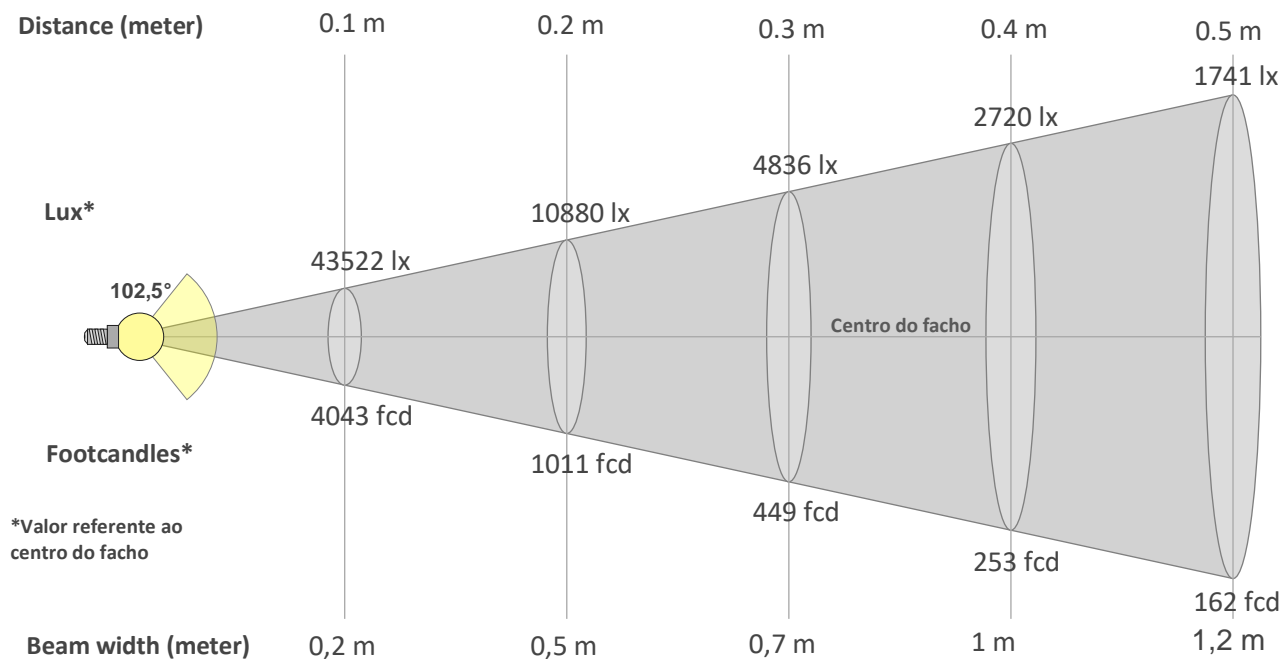
**Coeficiente de utilização**

| Ceiling reflectance | 80   |     |     |     | 70  |     |     |     | 50  |     |     | 30  |     |     | 10  |     |     | 0  |
|---------------------|--|-----|-----|-----|-----|-----|-----|-----|-----|-----|-----|-----|-----|-----|-----|-----|-----|----|
| Wall reflectance    | 70   | 50  | 30  | 10  | 70  | 50  | 30  | 10  | 50  | 30  | 10  | 50  | 30  | 10  | 50  | 30  | 10  | 0  |
| Floor reflectance   | 20   | 20  | 20  | 20  | 20  | 20  | 20  | 20  | 20  | 20  | 20  | 20  | 20  | 20  | 20  | 20  | 20  | 0  |
| RCR                 | (RCR: Room Cavity Ratio) Room Values are expressed as percentage of Lumens delivered to the task surface |     |     |     |     |     |     |     |     |     |     |     |     |     |     |     |     |    |
| 0                   | 119  | 119 | 119 | 119 | 116 | 116 | 116 | 116 | 110 | 110 | 110 | 105 | 105 | 105 | 100 | 100 | 100 | 98 |
| 1                   | 109  | 105 | 101 | 97  | 106 | 102 | 99  | 95  | 98  | 95  | 92  | 93  | 91  | 89  | 89  | 88  | 86  | 84 |
| 2                   | 100  | 92  | 85  | 80  | 97  | 90  | 84  | 79  | 86  | 81  | 77  | 82  | 78  | 75  | 79  | 76  | 73  | 71 |
| 3                   | 91   | 81  | 73  | 67  | 89  | 79  | 72  | 66  | 76  | 70  | 65  | 73  | 68  | 64  | 70  | 66  | 62  | 60 |
| 4                   | 84   | 72  | 64  | 57  | 81  | 71  | 63  | 57  | 68  | 61  | 56  | 65  | 60  | 55  | 63  | 58  | 54  | 52 |
| 5                   | 77   | 65  | 56  | 50  | 75  | 63  | 55  | 49  | 61  | 54  | 49  | 59  | 53  | 48  | 57  | 52  | 47  | 45 |
| 6                   | 71   | 58  | 50  | 43  | 69  | 57  | 49  | 43  | 55  | 48  | 43  | 54  | 47  | 42  | 52  | 46  | 42  | 40 |
| 7                   | 66   | 53  | 45  | 39  | 64  | 52  | 44  | 38  | 50  | 43  | 38  | 49  | 42  | 38  | 47  | 42  | 37  | 35 |
| 8                   | 62   | 48  | 40  | 34  | 60  | 48  | 40  | 34  | 46  | 39  | 34  | 45  | 38  | 34  | 44  | 38  | 33  | 31 |
| 9                   | 58   | 45  | 37  | 31  | 56  | 44  | 36  | 31  | 43  | 36  | 31  | 41  | 35  | 30  | 40  | 34  | 30  | 28 |
| 10                  | 54   | 41  | 33  | 28  | 53  | 41  | 33  | 28  | 39  | 33  | 28  | 38  | 32  | 28  | 37  | 32  | 28  | 26 |

**Quantidade de luminárias**

**Luminaire budgetary diagram**





### Beam intensities from 1-20m

| 1m      | 2m      | 3m     | 4m     | 5m     | 6m     | 7m     | 8m     | 9m     | 10m    | 11m    | 12m    | 13m    | 14m    | 15m    | 16m    | 17m    | 18m    | 19m    | 20m    |
|---------|---------|--------|--------|--------|--------|--------|--------|--------|--------|--------|--------|--------|--------|--------|--------|--------|--------|--------|--------|
| 3,3ft   | 6,6ft   | 9,8ft  | 13,1ft | 16,4ft | 19,7ft | 23ft   | 26,2ft | 29,5ft | 32,8ft | 36,1ft | 39,4ft | 42,7ft | 45,9ft | 49,2ft | 52,5ft | 55,8ft | 59,1ft | 62,3ft | 65,6ft |
| 435lx   | 109lx   | 48lx   | 27lx   | 17lx   | 12lx   | 9lx    | 7lx    | 5lx    | 4lx    | 4lx    | 3lx    | 3lx    | 2lx    | 2lx    | 2lx    | 2lx    | 1lx    | 1lx    | 1lx    |
| 40,4fcd | 10,1fcd | 4,5fcd | 2,5fcd | 1,6fcd | 1,1fcd | 0,8fcd | 0,6fcd | 0,5fcd | 0,4fcd | 0,3fcd | 0,3fcd | 0,2fcd | 0,2fcd | 0,2fcd | 0,2fcd | 0,1fcd | 0,1fcd | 0,1fcd | 0,1fcd |

### Intensities in 0° c-plane

| 0°   | 5°  | 10° | 15° | 20° | 25° | 30° | 35° | 40° | 45° | 50° | 55° | 60° | 65° | 70° | 75° | 80° | 85° | 90° | 95° |
|------|-----|-----|-----|-----|-----|-----|-----|-----|-----|-----|-----|-----|-----|-----|-----|-----|-----|-----|-----|
| 435  | 432 | 426 | 414 | 399 | 381 | 359 | 334 | 307 | 279 | 249 | 218 | 184 | 150 | 118 | 83  | 50  | 22  | 7   | 5   |
| 100% | 99% | 98% | 95% | 92% | 87% | 82% | 77% | 71% | 64% | 57% | 50% | 42% | 35% | 27% | 19% | 11% | 5%  | 2%  | 1%  |

### Intensities in 90° c-plane

| 0°   | 5°   | 10° | 15° | 20° | 25° | 30° | 35° | 40° | 45° | 50° | 55° | 60° | 65° | 70° | 75° | 80° | 85° | 90° | 95° |
|------|------|-----|-----|-----|-----|-----|-----|-----|-----|-----|-----|-----|-----|-----|-----|-----|-----|-----|-----|
| 435  | 433  | 424 | 411 | 392 | 368 | 340 | 308 | 274 | 239 | 203 | 166 | 130 | 94  | 60  | 30  | 14  | 6   | 2   | 2   |
| 100% | 100% | 97% | 94% | 90% | 85% | 78% | 71% | 63% | 55% | 47% | 38% | 30% | 22% | 14% | 7%  | 3%  | 1%  | 0%  | 0%  |

### Intensities in 180° c-plane

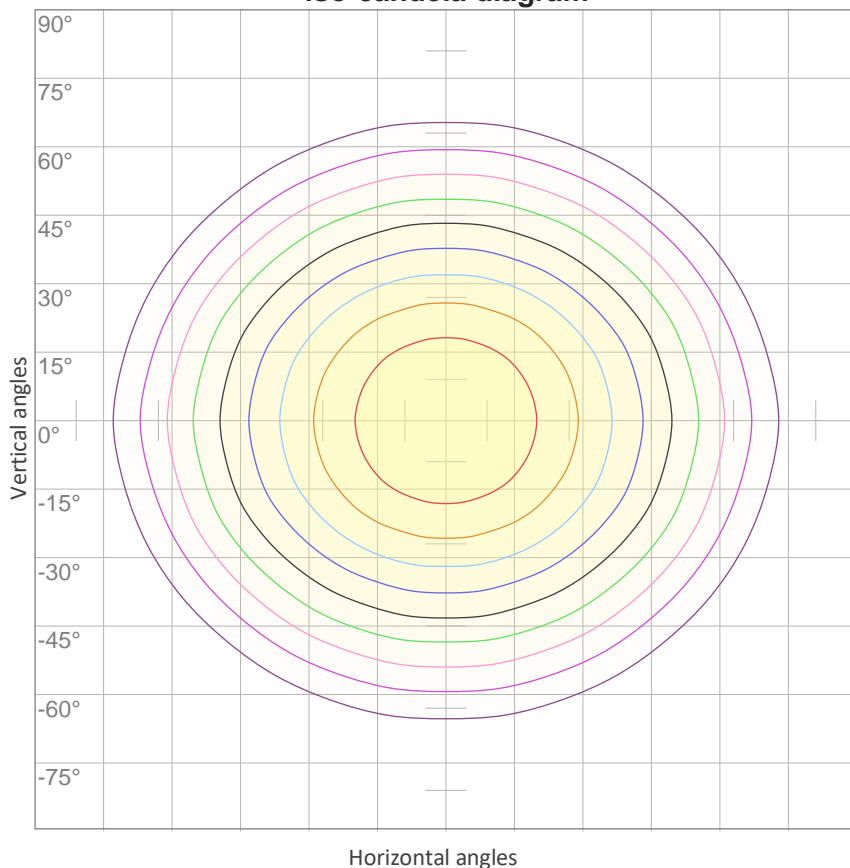
| 0°   | 5°  | 10° | 15° | 20° | 25° | 30° | 35° | 40° | 45° | 50° | 55° | 60° | 65° | 70° | 75° | 80° | 85° | 90° | 95° |
|------|-----|-----|-----|-----|-----|-----|-----|-----|-----|-----|-----|-----|-----|-----|-----|-----|-----|-----|-----|
| 435  | 432 | 426 | 414 | 399 | 381 | 359 | 334 | 307 | 279 | 249 | 218 | 184 | 150 | 118 | 83  | 50  | 22  | 7   | 5   |
| 100% | 99% | 98% | 95% | 92% | 87% | 82% | 77% | 71% | 64% | 57% | 50% | 42% | 35% | 27% | 19% | 11% | 5%  | 2%  | 1%  |

### Intensities in 270° c-plane

| 0°   | 5°   | 10° | 15° | 20° | 25° | 30° | 35° | 40° | 45° | 50° | 55° | 60° | 65° | 70° | 75° | 80° | 85° | 90° | 95° |
|------|------|-----|-----|-----|-----|-----|-----|-----|-----|-----|-----|-----|-----|-----|-----|-----|-----|-----|-----|
| 435  | 433  | 424 | 411 | 392 | 368 | 340 | 308 | 274 | 239 | 203 | 166 | 130 | 94  | 60  | 30  | 14  | 6   | 2   | 2   |
| 100% | 100% | 97% | 94% | 90% | 85% | 78% | 71% | 63% | 55% | 47% | 38% | 30% | 22% | 14% | 7%  | 3%  | 1%  | 0%  | 0%  |

| Beam angle 50% | Field angle 10% | Cutoff angle 2,5% | Intensity ratio in 120° cone | Intensity ratio in 90° cone |
|----------------|-----------------|-------------------|------------------------------|-----------------------------|
| 102,5°         | 152,4°          | 168,6°            | 81,2%                        | 57,0%                       |

iso-candela diagram



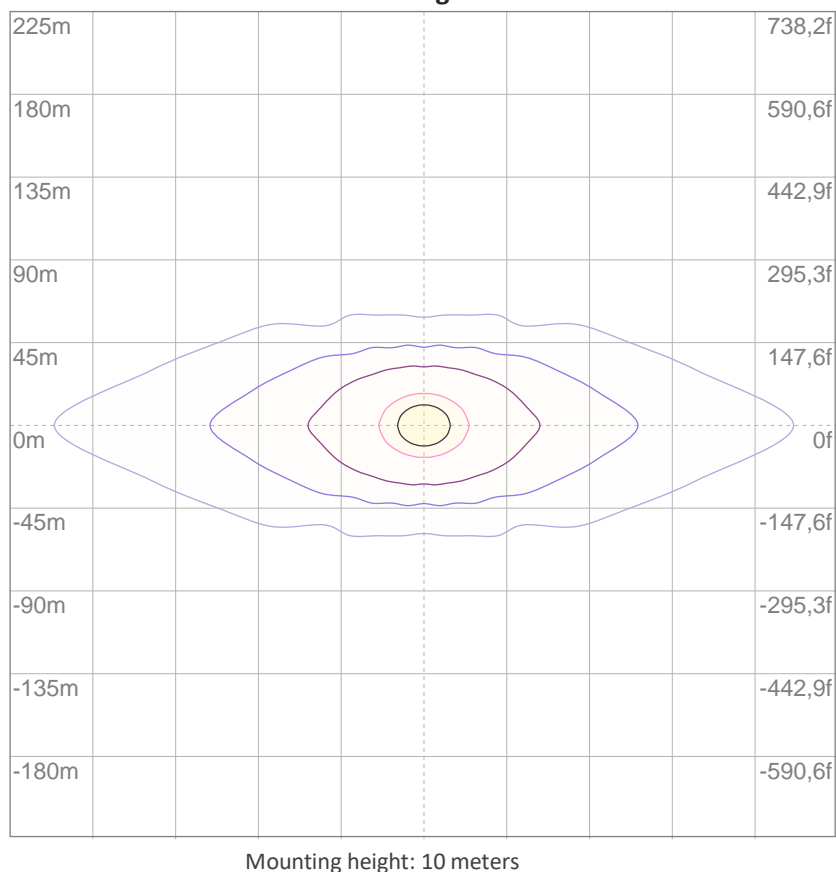
|     |        |
|-----|--------|
| 10% | 44 cd  |
| 20% | 87 cd  |
| 30% | 131 cd |
| 40% | 174 cd |
| 50% | 218 cd |
| 60% | 261 cd |
| 70% | 305 cd |
| 80% | 348 cd |
| 90% | 392 cd |

Conditions:

Number of c-planes: 16

Candela at center: 435 cd

iso-lux diagram



|     |          |
|-----|----------|
| 3%  | 0,131 lx |
| 5%  | 0,218 lx |
| 10% | 0,435 lx |
| 30% | 1,31 lx  |
| 50% | 2,18 lx  |

Conditions:

Number of c-planes: 16

Lux at center: 4,35 lx

*Lux distribution on a surface when lamp is mounted at 10 meters from the surface.*

**Potência**

|  |  |  |  |  |  |
|--|--|--|--|--|--|
|  |  |  |  |  |  |
|  |  |  |  |  |  |
|  |  |  |  |  |  |
|  |  |  |  |  |  |
|  |  |  |  |  |  |
|  |  |  |  |  |  |

**Vttagem: 12,0 V**

**Corrente: 1,98 A**

**Frequência: 0 Hz**

**FP: 1,0**

**THD**



**THD corrente: n/a**

**THD tensão: n/a**